

# Factorisation des entiers $N = \pm pq^2$

Fabien LAGUILLAUMIE

`fabien.laguillaumie@info.unicaen.fr`

`http://users.info.unicaen.fr/~flaguill/`

avec G. CASTAGNOS (Bordeaux), A. JOUX (Versailles),  
P. Q. NGUYEN (Paris)

Séminaire Caramel - Nancy



# Plan

- ▶ Introduction et Motivations
- ▶ Corps quadratiques, formes quadratiques
- ▶ Factorisation des entiers  $N = \pm pq^2$  avec des indices
  - ▶ Indice n° 1 :  $[\mathfrak{h}] \in \ker \bar{\varphi}_q$ 
    - ▶ Méthode n° 1 : le lift
    - ▶ Méthode n° 2 : Coppersmith
  - ▶ Indice n° 2 : un petit régulateur
- ▶ Conclusion



# Introduction et Motivations

Point de départ : un cryptosystème au déchiffrement efficace

- ▶ Soit  $N = pq$ , un entier RSA et  $\mathcal{M} = (\mathbb{Z}/p\mathbb{Z})^*$

$$\begin{array}{ccc} \pi : (\mathbb{Z}/N\mathbb{Z})^* & \longrightarrow & (\mathbb{Z}/p\mathbb{Z})^* \\ x & \longmapsto & x \pmod{p} \end{array}$$

- ▶  $\ker(\pi) \simeq (\mathbb{Z}/q\mathbb{Z})^*$

Génération des clés :  $\text{KeyGen}(\lambda) = \{(N, h), p\}$   $h \in \ker(\pi)$

Chiffrement :  $\text{Encrypt}((N, h), m, r) = mh^r \pmod{N}$

Déchiffrement :  $\text{Decrypt}(p, c) = \pi(c) = m \pmod{p}$



# Introduction et Motivations

Point de départ : un cryptosystème au déchiffrement efficace

- ▶ Consistance :

$$\pi(c) = \pi(m)\pi(h^r) = \pi(m) = m$$

- ▶ Sécurité :



# Introduction et Motivations

Point de départ : un cryptosystème au déchiffrement efficace

- ▶ Consistance :

$$\pi(c) = \pi(m)\pi(h^r) = \pi(m) = m$$

- ▶ Sécurité :

$h$  générateur de  $\ker \pi$  ?



# Introduction et Motivations

Point de départ : un cryptosystème au déchiffrement efficace

- ▶ Consistance :

$$\pi(c) = \pi(m)\pi(h^r) = \pi(m) = m$$

- ▶ Sécurité :

$$h \text{ générateur de } \ker \pi \implies \begin{cases} h \equiv 1 \pmod{p} \\ h \not\equiv 1 \pmod{q} \end{cases}$$



# Introduction et Motivations

Point de départ : un cryptosystème au déchiffrement efficace

- ▶ Consistance :

$$\pi(c) = \pi(m)\pi(h^r) = \pi(m) = m$$

- ▶ Sécurité :

$$h \text{ générateur de } \ker \pi \implies \begin{cases} h \equiv 1 \pmod{p} \\ h \not\equiv 1 \pmod{q} \end{cases}$$

Cryptanalyse :  $\text{pgcd}(h - 1, N) = p$



# Introduction et Motivations

$$N = pq^2$$

- ▶ Cryptosystèmes à la RSA ou à la Paillier
- ▶ Cryptosystèmes construits dans des corps quadratiques  
imaginaires et réels
- ▶ Problème de la “squarefree part” (calcul de l’anneau des entiers d’un corps quadratique)
- ▶ Factorisation - complexité exponentielle

Crandall-Pomerance

- An exponential algorithm is often the algorithm of choice for small inputs
- In some cases, an exponential algorithm is a direct ancestor of a subexponential algorithm
- the fastest, rigorously analyzed *deterministic* factoring algorithm is exponential
- factoring algorithms, [...] exponential [...], are the basis for analogous algorithms for discrete
- Many of the exponential algorithms are pure delights





# Introduction et Motivations

$$N = pq^2$$

- ▶ Cryptosystèmes à la RSA ou à la Paillier
  - ▶ Takagi  $N = p^r q$   
(déchiffrement rapide)
  - ▶ signature Esign  
(complexité quadratique de la signature et de la vérification)
  - ▶ Okamoto and Uchiyama  
(homomorphe)



# Introduction et Motivations

## Cryptographie et corps quadratiques

$$N = pq^2$$

- ▶ Échange de clé (Diffie-Hellman) dans le groupe de classes d'un corps quadratique imaginaire

J. Buchmann and H. C. Williams. *A Key-Exchange System based on Imaginary Quadratic Fields*. J. Cryptology, 1, 107–118 (1988)

- ▶ Elgamal, RSA, Rabin,...

- ▶ *New Ideal Coset Encryption (NICE)* :

S. Paulus and T. Takagi. *A New Public-Key Cryptosystem over a Quadratic Order with Quadratic Decryption Time*. J. Cryptology, 13(2), 263–272 (2000)

- ▶ NICE réel

J. Jacobson, Jr, R. Scheidler, D. Weimer. *An Adaptation of the NICE Cryptosystem to Real Quadratic Orders*. Proc. of Africacrypt'08, Springer LNCS Vol. 5023, 191-208 (2008)



# Corps quadratiques, formes quadratiques



# Corps quadratiques

- ▶  $K = \mathbb{Q}(\sqrt{\Delta_K})$
- ▶ **Discriminant fondamental** :
  - ▶  $\Delta_K \equiv 1 \pmod{4}$  sans facteur carré
  - ▶  $\Delta_K \equiv 0 \pmod{4}$  et  $\Delta_K/4 \equiv 2, 3 \pmod{4}$  sans facteur carré
- ▶ **Ordre quadratique** :  $\mathcal{O} \subset K$ ,  $\mathcal{O}$  est un sous-anneau de  $K$  contenant 1, et tel que  $\mathcal{O}$  soit un  $\mathbb{Z}$ -module libre de rang 2
- ▶  $\mathcal{O}_{\Delta_K}$  : **anneau des entiers** de  $K$  est l'ordre maximal,

$$\mathcal{O}_{\Delta_K} = \mathbb{Z} + \frac{\Delta_K + \sqrt{\Delta_K}}{2} \mathbb{Z}$$

- ▶  $\mathcal{O} \subset \mathcal{O}_{\Delta_K}$ ,  $f := [\mathcal{O}_{\Delta_K} : \mathcal{O}]$  est le **conducteur**,

$$\mathcal{O} = \mathbb{Z} + \frac{\Delta_f + \sqrt{\Delta_f}}{2} \mathbb{Z}$$

et  $\Delta_f = f^2 \Delta_K$  est le discriminant de  $\mathcal{O}_{\Delta_f} := \mathcal{O}$



# Corps quadratiques

- ▶ **Idéaux principaux** :  $\alpha \mathcal{O}_\Delta$  où  $\alpha \in \mathcal{O}_\Delta$
- ▶ **Idéaux fractionnaires** :  $\mathfrak{a} \subset K$  tel que  $d\mathfrak{a}$  est un idéal de  $\mathcal{O}_\Delta$  pour un entier  $d$  non nul
- ▶ Idéal fractionnaire  $\mathfrak{a}$  est **propre** si

$$\left\{ \beta \in K, \beta\mathfrak{a} \subset \mathfrak{a} \right\} = \mathcal{O}_\Delta$$

- ▶ Les idéaux fractionnaires inversibles sont les idéaux fractionnaires propres
- ▶  $I(\mathcal{O}_\Delta)$  : groupe des idéaux fractionnaires propres de  $\mathcal{O}_\Delta$
- ▶  $P(\mathcal{O}_\Delta)$  : sous-groupe des idéaux principaux



# Groupe de classes

$$C(\mathcal{O}_\Delta) := I(\mathcal{O}_\Delta)/P(\mathcal{O}_\Delta)$$

son cardinal (**fini**) est le nombre de classes noté  $h(\mathcal{O}_\Delta)$

- ▶ Relation d'équivalence :

$$\mathbf{a} \sim \mathbf{b} \iff \exists \alpha \in K^\times, \mathbf{b} = \alpha \mathbf{a}$$

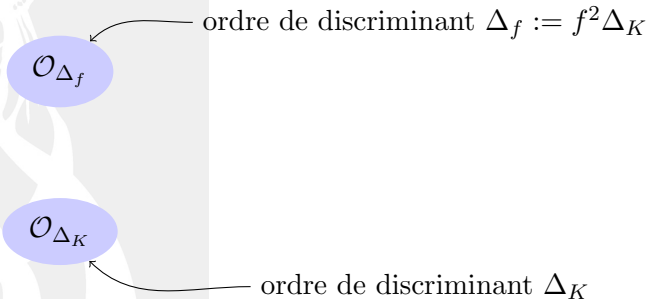
- ▶ Nombre de classes si  $\Delta < 0$  :

- ▶ En moyenne  $h(\Delta) \approx 0.461559\sqrt{|\Delta|}$
- ▶ Calculable en temps  $L_{1/2,3/\sqrt{8}+o(1)}(|\Delta|)$



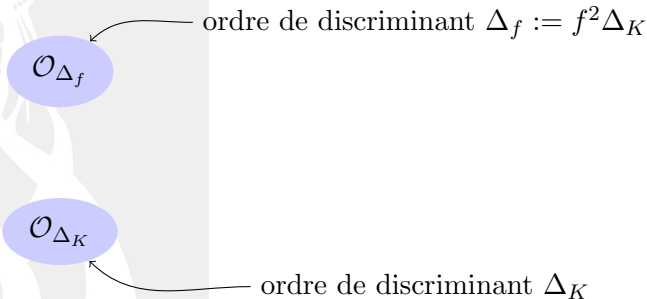
# Relations entre deux groupes de classes, $\Delta_K < 0$

Situation :



# Relations entre deux groupes de classes, $\Delta_K < 0$

Situation :



Idéal premier avec le conducteur :

- ▶ un idéal  $\mathfrak{a}$  est **premier avec**  $f$  si  $N(\mathfrak{a})$  est première avec  $f$





# Relations entre deux groupes de classes, $\Delta_K < 0$

Situation :

$\mathcal{O}_{\Delta_f}$

$\mathfrak{a} \cap \mathcal{O}_{\Delta_f}$

idéal de même norme

$\varphi_f^{-1}$

$\mathcal{O}_{\Delta_K}$

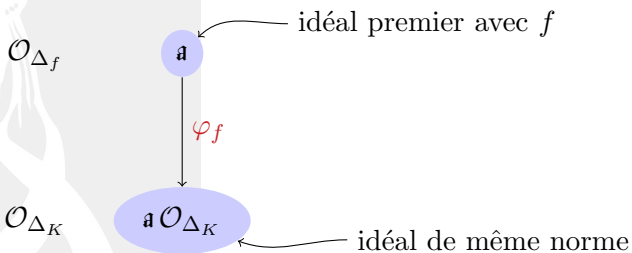
$\mathfrak{a}$

idéal premier avec  $f$



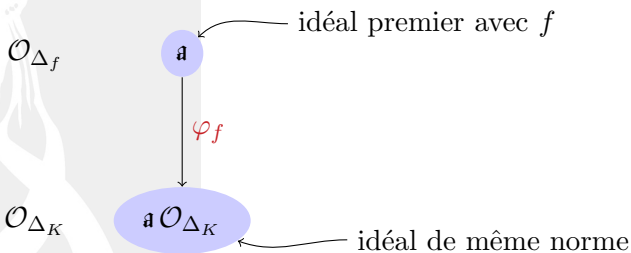
# Relations entre deux groupes de classes, $\Delta_K < 0$

Situation :



# Relations entre deux groupes de classes, $\Delta_K < 0$

Situation :



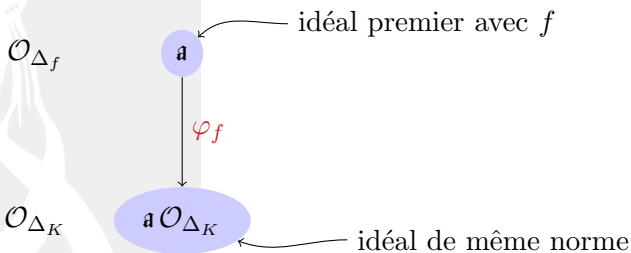
$\varphi_f$  et  $\varphi_f^{-1}$  :

- ▶  $\varphi_f$  et  $\varphi_f^{-1}$  sont des isomorphismes calculables avec complexité quadratique **si on connaît le conducteur  $f$**



# Relations entre deux groupes de classes, $\Delta_K < 0$

Situation :



Passage au quotient :

- ▶  $\varphi_f$  induit une surjection :

$$\bar{\varphi}_f : C(\mathcal{O}_{\Delta_f}) \longrightarrow C(\mathcal{O}_{\Delta_K})$$



# Corps quadratiques

- ▶  $\mathcal{O}_\Delta^*$  est le groupe des unités dans  $\mathcal{O}_\Delta$

$$\mathcal{O}_\Delta^* = \begin{cases} \{\pm 1\} & \text{si } \Delta < -4 \\ \mu_6 & \text{si } \Delta = -3 \\ \mu_4 & \text{si } \Delta = -4 \\ \langle -1, \varepsilon_\Delta \rangle & \text{si } \Delta > 0 \end{cases}$$

$\varepsilon_\Delta$  est l'unité fondamentale.

- ▶  $R_\Delta = \log(\varepsilon_\Delta)$  est le **régulateur** of  $\mathcal{O}_\Delta$

$$\log \left( \frac{1}{2}(\sqrt{\Delta - 4} + \sqrt{\Delta}) \right) \leq R_\Delta < \sqrt{\frac{1}{2}\Delta} \left( \frac{1}{2} \log \Delta + 1 \right)$$

$$\frac{h(\mathcal{O}_{\Delta_q})}{h(\mathcal{O}_{\Delta_K})} = \begin{cases} q - (\Delta_K/q) & \text{if } \Delta_K < -4, \\ (q - (\Delta_K/q)) \frac{R_{\Delta_K}}{R_{\Delta_q}} & \text{si } \Delta_K > 0. \end{cases}$$



# Formes quadratiques

►  $\mathfrak{a}$  idéal de  $\mathcal{O}_\Delta$  :

$$\mathfrak{a} = m \left( a\mathbb{Z} + \frac{-b + \sqrt{\Delta}}{2}\mathbb{Z} \right)$$

avec  $m \in \mathbb{Z}$ ,  $a \in \mathbb{N}$  et  $b \in \mathbb{Z}$  tel que  $b^2 \equiv \Delta \pmod{4a}$ .

Dans la suite : idéaux *primitifs* ( $m = 1$ )



# Formes quadratiques

- ▶  $\mathfrak{a}$  idéal de  $\mathcal{O}_\Delta$  :

$$\mathfrak{a} = m \left( a\mathbb{Z} + \frac{-b + \sqrt{\Delta}}{2}\mathbb{Z} \right)$$

avec  $m \in \mathbb{Z}$ ,  $a \in \mathbb{N}$  et  $b \in \mathbb{Z}$  tel que  $b^2 \equiv \Delta \pmod{4a}$ .

Dans la suite : idéaux *primitifs* ( $m = 1$ )

- ▶  $f$  **forme quadratique** :  $f(x, y) = ax^2 + bxy + cy^2$  avec  $a, b, c \in \mathbb{Z}$ , notée  $[a, b, c]$ , de **discriminant**  $\Delta = b^2 - 4ac$ .
- ▶ Si  $\Delta < 0$  et  $a > 0$ ,  $f$  est dite **définie positive**
- ▶ Si  $\Delta > 0$ ,  $f$  est dite **indéfinie**
- ▶ Soit  $M \in \text{GL}_2(\mathbb{Z})$  avec  $M = \begin{pmatrix} \alpha & \beta \\ \gamma & \delta \end{pmatrix}$ ,  $f.M$  est la forme

$$f(\alpha x + \beta y, \gamma x + \delta y).$$



# Formes quadratiques

Formes définies positives primitives ( $\text{pgcd}(a, b, c) = 1$ )

- ▶  $f \sim g \iff \exists M \in \text{SL}_2(\mathbb{Z})$  telle que  $g = f.M$ .
- ▶  $f = [a, b, c]$  est **normale** si  $-a < b \leq a$ .  
Elle est **réduite** si
  - ▶  $-a < b \leq a \leq c$
  - ▶ et si  $b \geq 0$  pour  $a = c$ .
- ▶ unicité de la forme réduite dans une classe modulo  $\text{SL}_2(\mathbb{Z})$
- ▶ Si  $f$  est normale et  $a < \sqrt{|\Delta|/4}$ ,  $f$  est réduite





# Formes quadratiques

## Formes indéfinies primitives

- ▶  $f = [a, b, c]$  est **réduite** si

$$\left| \sqrt{\Delta} - 2|a| \right| < b < \sqrt{\Delta}$$

et **normale** si

- ▶  $-|a| < b \leq |a|$  pour  $|a| \geq \sqrt{\Delta}$
  - ▶ et  $\sqrt{\Delta} - 2|a| < b < \sqrt{\Delta}$  pour  $|a| < \sqrt{\Delta}$ .
- 
- ▶ **Normalise** :  $[a, b, c] \rightsquigarrow [a, b + 2sa, as^2 + bs + c]$
  - ▶ **Rho** :  $[a, b, c] \rightsquigarrow \text{Normalise}([c, -b, a])$

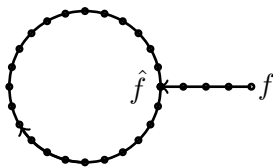
Reduction step



# Formes quadratiques

## Formes indéfinies

- ▶ le **cycle** de  $f$  est la suite  $(\rho^i(g))_{i \in \mathbb{Z}}$  où  $g$  une forme réduite équivalente à  $f$



- ▶  $\ell$  la **période** :

$$\frac{R_{\Delta}}{\log \Delta} \leq \ell \leq \frac{2R_{\Delta}}{\log 2} + 1.$$



Factorisation des entiers  $N = \pm pq^2$  avec des indices.



# Factorisation de $N = pq^2$

Les méthodes de factorisation existantes (spécifiques) :

$$N = pq^2$$

## ► Résultats connus :

- amélioration d'ECM d'un facteur  $\log(p)$  (Peralta 2001)
- factorisation des entiers  $p^r q$  (Boneh, Durfee 1999)
  - Coppersmith -  $\tilde{O}(p^{1/3}) \rightsquigarrow \tilde{O}(N^{1/9})$
- Pollard-Strassen version Bostan-Gaudry-Schost
  - $\tilde{O}(N^{1/6}) + \tilde{O}(N^{1/6})$  en espace

## ► Nos résultats

- Connaissance d'un élément particulier
- Condition arithmétique sur  $p$ 
  - $\tilde{O}(p^{1/2}) \rightsquigarrow \tilde{O}(N^{1/6})$
  - $\tilde{O}(\text{Poly}(\log(p)))$  dans les cas favorables



# Factorisation de $N = pq^2$

Indice n° 1 :  $[\mathfrak{h}] \in \ker \bar{\varphi}_q$



Indice n° 1 :  $[\mathfrak{h}] \in \ker \bar{\varphi}_q$

Morphisme  $\bar{\varphi}_q$  :

$$\begin{array}{ccc} C(\mathcal{O}_{\Delta_q}) & & [\mathfrak{a}] \\ \downarrow & & \downarrow \\ C(\mathcal{O}_{\Delta_K}) & & [\mathfrak{a} \mathcal{O}_{\Delta_K}] \end{array}$$

Lemme (Cox)

*Il existe un isomorphisme effectif*

$$\psi_q : (\mathcal{O}_{\Delta_K}/q\mathcal{O}_{\Delta_K})^\times / (\mathbb{Z}/q\mathbb{Z})^\times \xrightarrow{\sim} \ker \bar{\varphi}_q$$



# Indice n° 1 : $[\mathfrak{h}] \in \ker \bar{\varphi}_q$



- ▶  $\alpha = x + y \frac{\Delta_K + \sqrt{\Delta_K}}{2}$  avec  $\text{pgcd}(N(\alpha), q) = 1$
- ▶  $\psi_q(\alpha) = [\varphi_q^{-1}(\alpha \mathcal{O}_K)]$

[BTW95]



- ▶  $\mathfrak{h} \in I(\mathcal{O}_{\Delta_q}, q)$
- ▶ calcul de  $\alpha \in \mathcal{O}_K$  tel que  $\alpha \mathcal{O}_K = \varphi_q(\mathfrak{h})$
- ▶  $\psi_q^{-1}([\mathfrak{h}]) = [\alpha]$

[HJPT98]

[HJW03]

- ▶  $\# \ker \bar{\varphi}_q = q - \left(\frac{\Delta_K}{q}\right).$

[BTW95] : J. Buchmann, C. Thiel and H. C. Williams. *Short Representation of Quadratic Integers*. Proc. of CANT'92, Math. Appl. 325, Kluwer Academic Press, 159–185 (1995)

[HJPT98] D. Hühnlein, M. Jacobson, Jr., S. Paulus and T. Takagi. *A Cryptosystem Based on Non-Maximal Imaginary Quadratic Orders with Fast Decryption*. Proc. of Eurocrypt'98, Springer LNCS Vol. 1403, 294–307 (1998)

[HJW03] D. Hühnlein, M. Jacobson, Jr. and D. Weber. *Towards Practical Non Interactive Public-Key Cryptosystems Using Non-Maximal Imaginary Quadratic Orders*. Des. Codes Cryptography 30(3) 281–299 (2003)



Indice n° 1 :  $[\mathfrak{h}] \in \ker \bar{\varphi}_q$

## Théorème

*Dans chaque classe non triviale de  $\ker \bar{\varphi}_q$ , il existe un idéal de norme  $q^2$ .*





Indice n° 1 :  $[\mathfrak{h}] \in \ker \bar{\varphi}_q$

## Théorème

*Dans chaque classe non triviale de  $\ker \bar{\varphi}_q$ , il existe un idéal de norme  $q^2$ .*

Démonstration (sketch).

- ▶ Système de représentants de  $(\mathcal{O}_{\Delta_K}/q\mathcal{O}_{\Delta_K})^\times / (\mathbb{Z}/q\mathbb{Z})^\times$  :

$$1 \text{ et } \alpha_x = x + \frac{\Delta_K + \sqrt{\Delta_K}}{2} \text{ avec } x \in \{0, \dots, q-1\},$$

avec  $N(\alpha_x)$  première avec  $q$ .

- ▶ Calcul de

$$(\mathcal{O}_{\Delta_K}/q\mathcal{O}_{\Delta_K})^\times / (\mathbb{Z}/q\mathbb{Z})^\times \longrightarrow \ker \bar{\varphi}_q$$



Indice n° 1 :  $[\mathfrak{h}] \in \ker \bar{\varphi}_q$

### Théorème

*Dans chaque classe non triviale de  $\ker \bar{\varphi}_q$ , il existe un idéal de norme  $q^2$ .*

Conséquence :

L'idéal réduit  $\mathfrak{h}$  est équivalent à un idéal non réduit de norme  $q^2$



# Indice n° 1 : $[\mathfrak{h}] \in \ker \bar{\varphi}_q$

▶ Première idée : remonter la réduction (mauvaise)

▶ Deuxième idée : *lifter*  $\mathfrak{h}$  (bonne)

On the Security of Cryptosystems with Quadratic Decryption : The Nicest Cryptanalysis.  
G. Castagnos, F. Laguillaumie. Proc. of Eurocrypt'09. Springer LNCS Vol. 5479, 260-277  
(2009)

▶ Troisième idée : trouver les petites racines de la forme quadratique associée (bonne)

Factoring  $pq^2$  with Quadratic Forms : Nice Cryptanalyses.  
G. Castagnos, A. Joux, F. Laguillaumie, P. Q. Nguyen. Proc. of Asiacrypt'09, Springer  
LNCS Vol. 5912, 469-486 (2009)



Indice n° 1 :  $[\mathfrak{h}] \in \ker \bar{\varphi}_q$

Méthode n° 1 : le lift



Indice n° 1 :  $[\mathfrak{h}] \in \ker \bar{\varphi}_q$

Méthode n° 1 : le lift

$C(\mathcal{O}_{\Delta_q})$

$[\mathfrak{h}] \in \ker \bar{\varphi}_q$

avec  $\mathfrak{h}$  réduit

$q$

$C(\mathcal{O}_{\Delta_K})$



Indice n° 1 :  $[\mathfrak{h}] \in \ker \bar{\varphi}_q$

Méthode n° 1 : le lift

$C(\mathcal{O}_{\Delta_q r^2})$

$r$

$C(\mathcal{O}_{\Delta_q})$

$q$

$C(\mathcal{O}_{\Delta_K})$

$[(q^2, -)]$

réduit si  $\begin{cases} q^2 < \sqrt{|\Delta_q|} r^2 / 4 \\ \updownarrow \\ r > 2q / \sqrt{p} \end{cases}$

$[\mathfrak{h}] \in \ker \bar{\varphi}_q$

avec  $\mathfrak{h}$  réduit



Indice n° 1 :  $[\mathfrak{h}] \in \ker \bar{\varphi}_q$

Méthode n° 1 : le lift

$C(\mathcal{O}_{\Delta_q r^2})$

$r$

$C(\mathcal{O}_{\Delta_q})$

$q$

$C(\mathcal{O}_{\Delta_K})$

$[(q^2, -)]$

réduit si  $\begin{cases} q^2 < \sqrt{|\Delta_q|} r^2 / 4 \\ \updownarrow \\ r > 2q / \sqrt{p} \end{cases}$

$[\mathfrak{h}] \in \ker \bar{\varphi}_q$

avec  $\mathfrak{h}$  réduit



Indice n° 1 :  $[\mathfrak{h}] \in \ker \bar{\varphi}_q$

Méthode n° 1 : le lift

$C(\mathcal{O}_{\Delta_{qr^2}})$

$[(q^2, -)] \in \ker \bar{\varphi}_{qr}$

$r$

$C(\mathcal{O}_{\Delta_q})$

$[\mathfrak{h}] \in \ker \bar{\varphi}_q$

$q$

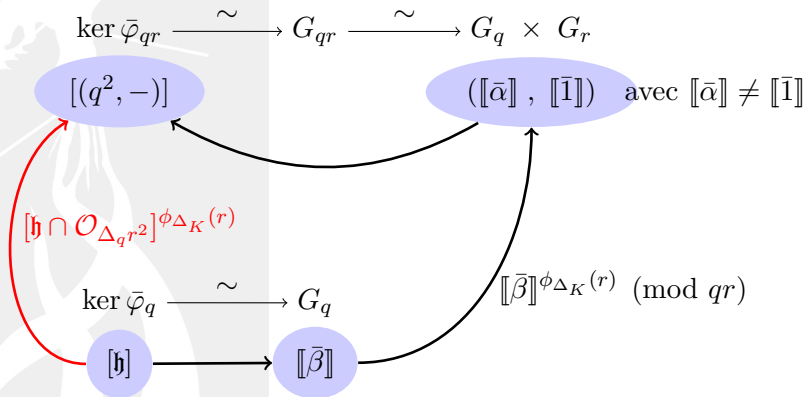
$C(\mathcal{O}_{\Delta_K})$





Indice n° 1 :  $[\mathfrak{h}] \in \ker \bar{\varphi}_q$

Méthode n° 1 : le lift



Notation :

$$G_f := (\mathcal{O}_{\Delta_K} / f\mathcal{O}_{\Delta_K})^\times / (\mathbb{Z}/f\mathbb{Z})^\times \text{ et } \phi_{\Delta_K}(f) := \#G_f$$



# Indice n° 1 : $\mathfrak{h}$

Méthode n° 1 : le lift

**Input:**  $\lambda \in \mathbb{Z}, \Delta_q = -pq^2 \in \mathbb{Z}, \mathfrak{h} = (a, b) \in I(\mathcal{O}_{\Delta_q}, q)$  with  $[\mathfrak{h}] \in \ker \bar{\varphi}_q$  of order  $> 6$

**Output:**  $p, q$

**Initialisation :**

1. Set  $r' = 3$
2. Set  $\delta_{r'} = \lceil \frac{\lambda+3}{2} \frac{\log 2}{\log r'} \rceil$  and  $r = r'^{\delta_{r'}}$
3. **If** the order of  $[\mathfrak{h}]$  divides  $\phi_{\Delta_K}(r)$  **then** set  $r'$  to the next prime and **goto** 2.
4. Find  $\mathfrak{h}' \in [\mathfrak{h}]$  such that  $\mathfrak{h}' \in I(\mathcal{O}_{\Delta_q}, r')$

**Core Algorithm :**

5. Compute  $\mathfrak{g} = \mathfrak{h}' \cap \mathcal{O}_{\Delta_q r'^2}$
6. Compute  $\mathfrak{f} = \text{Red}(\mathfrak{g}^{\phi_{\Delta_K}(r)})$
7. **Return**  $p = \Delta_q / N(\mathfrak{f}), q = \sqrt{N(\mathfrak{f})}$



Indice n° 1 :  $[\mathfrak{h}] \in \ker \bar{\varphi}_q$

Méthode n° 2 : Coppersmith



Indice n° 1 :  $[\mathfrak{h}] \in \ker \bar{\varphi}_q$

Méthode n° 2 : Coppersmith

$$\Delta = -pq^2$$

▶  $f_k := [q^2, kq, (k^2 + p)/4]$        $f_k(x, y) = q^2 + kqxy + (k^2 + p)/4y^2$

▶  $M_k = \begin{pmatrix} \alpha & \beta \\ \gamma & \delta \end{pmatrix} \in \mathrm{SL}_2(\mathbb{Z})$  la matrice telle que  $\hat{f}_k = f_k \cdot M_k$  :

$$\hat{f}_k \leftrightarrow \mathfrak{h}$$

▶  $q^2 = f_k(1, 0) = \hat{f}_k(\delta, -\gamma)$



Indice n° 1 :  $[\mathfrak{h}] \in \ker \bar{\varphi}_q$

Méthode n° 2 : Coppersmith

Factorisation de  $\Delta_q = -pq^2$  si on trouve  $(x_0, y_0)$  tel que

$$\text{pgcd}(\hat{f}_k(x_0, y_0), \Delta_q) = q^2$$

$\rightsquigarrow$  Coppersmith bivarié

▶  $\tilde{f}_k(x, y) = x^2 + b'xy + c'y^2$  avec

$$\tilde{f}_k(x_0, y_0) \equiv 0 \pmod{q^2} \text{ et } |x_0|, |y_0| < X$$

▶  $\tilde{f}_k$  est homogène de degré 2



Indice n° 1 :  $[\mathfrak{h}] \in \ker \bar{\varphi}_q$

Méthode n° 2 : Coppersmith

Lemme (à la Howgrave-Graham)

Soit  $B \in \mathbb{N}$  et  $h(x, y) \in \mathbb{Z}[x, y]$  *homogène de degré  $d$*  avec au plus  $\omega$  monômes.

Supposons que  $h(x_0, y_0) = 0 \pmod{B}$  et

$$\begin{cases} |x_0|, |y_0| \leq X \\ \|h(xX, yX)\| < B/\sqrt{\omega} \end{cases}$$

Alors le polynôme univarié  $\tilde{h}(r) = (1/y^d)h(x, y)$  (avec  $r = x/y$ ) est tel que

$$\tilde{h}(x_0/y_0) = 0$$

dans  $\mathbb{Q}$ .



Indice n° 1 :  $[\mathfrak{h}] \in \ker \bar{\varphi}_q$

Méthode n° 2 : Coppersmith

$$\begin{cases} g_{i,j}(x,y) &= x^j y^{2(t-i)-j} \tilde{f}_k^i \Delta_q^{m-i} & \text{pour } i = 0, 1, \dots, m-1, j = 0, 1 \\ h_i(x,y) &= x^i y^{2t'-i} \tilde{f}_k^m & \text{pour } i = 0, 1, \dots, 2t'. \end{cases}$$

Soit  $r = x/y$  et  $\tilde{f}(r) = \tilde{f}_k(x,y)/y^2 = r^2 + b'r + c'$ . Alors,

$$\begin{cases} g_{i,j}(x,y)/y^{2t} &= x^j y^{-2i-j} f^i(x,y) \Delta_q^{m-i} &= r^j \tilde{f}^i(r) \Delta_q^{m-i} &=: \tilde{g}_{i,j}(r) \\ h_i(x,y)/y^{2t} &= x^i y^{-i-2m} f^m(x,y) &= r^i \tilde{f}^m(r) &=: \tilde{h}_i(r) \end{cases}$$

- ▶ Construction d'un réseau  $L$  à partir des  $g_{i,j}(r)$  et  $h_i(r)$
- ▶  $\det(L) = \Delta_q^{m(m+1)} X^{2t(2t+1)}$
- ▶ Comparaison avec la borne sur la norme du premier vecteur sorti par LLL :

$$X = \Delta_q^{1/9}$$



Indice n° 1 :  $[\mathfrak{h}] \in \ker \bar{\varphi}_q$

Méthode n° 2 : Coppersmith

Exemple avec  $m = 2, t = 3$

$$\begin{array}{ccccccc} y^6 & y^5x & y^4x^2 & & y^3x^3 & y^2x^4 & yx^5 & x^6 \\ \left( \begin{array}{ccccccc} N^2 & & & & & & & \\ 0 & N^2 & & & & & & \\ Nc & Nb & N & & & & & \\ 0 & Nc & Nb & N & & & & \\ c^2 & 2bc & 2c + b^2 & 2b & 1 & & & \\ 0 & c^2 & 2bc & 2c + b^2 & 2b & 1 & & \\ 0 & 0 & c^2 & 2bc & 2c + b^2 & 2b & 1 & \end{array} \right) \begin{array}{l} y^6 N^2 \\ xy^5 N^2 \\ y^4 N h \\ xy^3 N h \\ y^2 h^2 \\ xy h^2 \\ x^2 h^2 \end{array} \end{array}$$





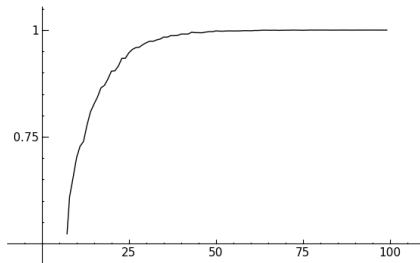
Indice n° 1 :  $[\mathfrak{h}] \in \ker \bar{\varphi}_q$

Méthode n° 2 : Coppersmith

On note  $|M|$  la norme max de  $M$ .

## Heuristique

Étant donné un élément réduit  $\hat{f}_k$  d'une classe non-triviale de  $\ker \bar{\varphi}_q$ , la matrice de la réduction  $M_k$  est telle que  $|M_k| < |\Delta_q|^{1/9}$  avec une probabilité asymptotiquement proche de 1.



Indice n° 1 :  $[h] \in \ker \bar{\varphi}_q$

Méthode n° 2 : Coppersmith

$$\Delta_q = \begin{array}{l} -100113361940284675007391903708261917456537242594667 \\ 4915149340539464219927955168182167600836407521987097 \\ 2619973270184386441185324964453536572880202249818566 \\ 5592983708546453282107912775914256762913490132215200 \\ 22224671621236001656120923 \end{array}$$

$$a = \begin{array}{l} 57022687708942583181685884381175588713007831807699951 \\ 95092715895755173700399141486895731384747 \end{array}$$

$$b = \begin{array}{l} 33612360405827547849585862980179491106487317456059301 \\ 64666819569606755029773074415823039847007 \end{array}$$

Notre algorithme trouve en moins d'1/2 seconde  $r_0 = \frac{-103023911}{349555951}$   
telle que

$$\begin{aligned} h(\text{Num}(r_0), \text{Dénom}(r_0)) &= \begin{array}{l} 5363123171977038839829609999282338450991746328236957351089 \\ 4245774887056120365979002534633233830227721465513935614971 \\ 593907712680952249981870640736401120729 \end{array} \\ &= q^2 \end{aligned}$$



Factorisation de  $N = pq^2$

Indice n° 2 : un petit régulateur



## Indice n° 2 : le régulateur de $p$

### Théorème

Soit  $\Delta_K$  un discriminant fondamental positif,  $\Delta_q = \Delta_K q^2$  où  $q$  est un conducteur impair. Soit  $\varepsilon_{\Delta_K}$  (resp.  $\varepsilon_{\Delta_q}$ ) l'unité fondamentale de  $\mathcal{O}_{\Delta_K}$  (resp.  $\mathcal{O}_{\Delta_q}$ ) et  $t$  tel que  $\varepsilon_{\Delta_K}^t = \varepsilon_{\Delta_q}$ .

Alors les idéaux principaux de  $\mathcal{O}_{\Delta_q}$  générés par  $q\varepsilon_{\Delta_K}^i$  correspondent aux formes quadratiques

$$f_{k(i)} = [q^2, k(i)q, (k(i)^2 - p)/4]$$

avec  $i \in \{1, \dots, t-1\}$  et  $k(i)$  un entier défini modulo  $2q$  calculable à partir de  $\varepsilon_{\Delta_K}^i \pmod{q}$ .



## Indice n° 2 : le régulateur de $p$

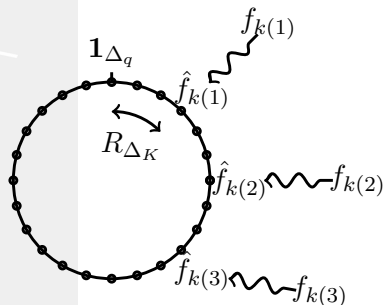


FIG.: Répartition des formes  $\hat{f}_k(i)$  le long du cycle principal

## Indice n° 2 : le régulateur de $p$

### Heuristique

À partir de la forme principale  $\mathbf{1}_{\Delta_q}$ , une forme réduite  $\hat{f}_k$  telle que la matrice de réduction  $M_k$  satisfait  $|M_k| < \Delta_q^{1/9}$ , peut être trouvée au bout de  $\mathcal{O}(R_{\Delta_K})$  applications successives de  $Rho$ .

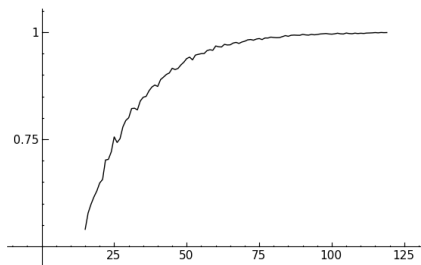


FIG.: Probabilité que  $|M_k| < |\Delta_q|^{1/9}$  en fonction de la taille  $\lambda$  de  $p$  et  $q$ .



# Indice n° 2 : le régulateur de $p$

Algorithme de factorisation des  $pq^2$

**Input:**  $N = pq^2, m, t$

**Output:**  $p, q$

1.  $h \leftarrow [1, \lfloor \sqrt{\Delta_q} \rfloor, (\lfloor \sqrt{\Delta_q} \rfloor^2 - \Delta_q)/4]$
2.  $S \leftarrow \emptyset$
3. **while**  $S = \emptyset$  **do**
  - 3.1.  $h \leftarrow \text{Rho}(h)$
  - 3.2.  $S \leftarrow \text{HomogeneousCoppersmith}(h, N, m, t)$
4.  $x_0 \leftarrow \text{Numerator}(S), y_0 \leftarrow \text{Denominator}(S)$
5.  $q \leftarrow \text{Sqrt}(\text{Gcd}(h(x_0, y_0), N))$
6. **return**  $(N/q^2, q)$



## Indice n° 2 : le régulateur de $p$

### Complexité :

- ▶ en temps :  $O(R_p \text{Poly}(\log N))$
- ▶ en espace :  $O(\log N)$

Pire cas :  $O(p^{1/2} \log p \text{Poly}(\log N))$

- ▶ Dans NICE réel :

*Schinzel sleeper* :  $p = a^2x^2 + 2bx + c$  avec

$a, b, c, x \in \mathbb{Z}, a \neq 0$  et  $b^2 - 4ac \mid 4\text{pgcd}(a^2, b)^2$

et

$$R_{\Delta_K} < c(\log(a)) \log(\sqrt{\Delta_K})$$

- ▶ D'autres entiers avec petit régulateur :  $\begin{cases} p = x^2 + 4 \\ p = x^2 + 1 \end{cases}$





# Expérience

- ▶ Le polynôme de Schinzel  $S(X) = 154^2 X^2 + 2 \cdot 1848X + 145$  produit un premier fondamental de 1024 bits  $p$  pour

$$X_0 = 742580904152459207040996305843978694225348656778318732499703298404473916608514503632356111724888120733946935414993974514560831140974654762720960708608.$$

- ▶ Son régulateur :  $R_{\Delta_K} \simeq 350.82$ .

$$\Delta_q = 8652847730371352983096555365546286774757127665924565803276204832022803237080423741454699916227786011114500556129463757561738298276973390597175848561496535655648688056781327476022119563059127314330539380497240895130406201250507731150708556480929050152128898114797218723575096087294275095902442453309230711498360948363625638548834916968787118133041710325523135541140228834079648990856373731137530135928339443245508463937482434535141169172566442343227177356582530049603640870247222293894279750265546775352346079134658349631258789015809773848552718311277726174765150408024751980489080021592540083431808559617147769808532171593543541461225474397133863532953635652832410883944107305459341466829533199631980727938016162651991683135904386509828788775800657585341532091993804066166249557043317391403133704097175873766807067074798513170848927018650117899951833745544010204738131060558944255239298998192229174748761931322766954974944297$$



# Expérience

- ▶ Notre algorithme retrouve

$q =$  813420349147370484191937392353743987057216867229000519389617165443345442965791153  
590600055431858367339657249724776138214723135174812646684135350615452945702161509  
056620645273845046756878630355206667163387506843081902301543694713928158259509441  
47273074042188107662930334328568639880205200204373157188449446587141

à partir de  $\Delta_q$  ( 3072 bits) après 126 itérations en 657.12 secondes.

- ▶ La racine rationnelle :

2381688390651907786346063545375320574105612285596517115735418576228401466663504525041781  
3121736667298312791332305258966423823047969665345852691023433833742187009250650452020082

- ▶ Le numérateur  $x_0$  et le dénominateur  $y_0$  satisfont  $\log(\Delta_q)/\log(x_0) \simeq 10.597$  et  $\log(\Delta_q)/\log(y_0) \simeq 10.583$ .



# Améliorations

Aurore Bernard (XLIM) et Nicolas Gama (GREYC) :

- ▶ Nouvel algorithme de réduction des formes indéfinies :

- ▶ nombre d'itérations  $\leq \frac{\log(|a|/\sqrt{\Delta})}{2 \log(\omega)} + 4$

- ▶  $M = \begin{pmatrix} \alpha & \beta \\ \gamma & \delta \end{pmatrix}$

$$\sqrt{|\gamma\delta|} \leq \sqrt{21} \sqrt{|a|/\sqrt{\Delta}}$$

(Buchmann :  $\sqrt{|\gamma\delta|} \leq (|a|/\sqrt{\Delta})(1 + 1/\sqrt{\Delta})$ )

- ▶  $\frac{u}{v} \equiv c \pmod{q}$

- ▶ ils obtiennent les formes déséquilibrées



# Conclusion

- ▶ Cryptanalyse totale des schémas basés sur NICE :
  - ▶  $h$  dans la clé publique de NICE imaginaire
  - ▶  $p$  de petit régulateur dans NICE réel
- ▶ Peu d'espoir d'avoir un déchiffrement quadratique dans des corps quadratiques
- ▶ Nouvel algorithme déterministe (heuristique) de factorisation des entiers  $pq^2$  donc la complexité dépend du régulateur de  $\mathbb{Q}(\sqrt{p})$  (en général de l'ordre de  $\sqrt{p}$ ).

